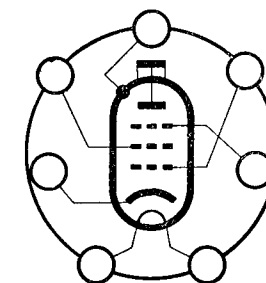


Typ	Výrobce	$U_f$	$I_f$	$U_a$	$I_a$	$-U_{g1}$	$U_{g2}$	$U_{g3}$	$I_{g2}$	$S$
		V	A	V	mA	V	V	V	mA	mA/V
1	2	3	4	5	6	7	8	9	10	11
4TSP	Cossor	4	1	250	19,5	2	150	—	—	8
7A3	Brimar	4	2	250	32	6	250	—	10	6
29W31	Osram	13	0,3	180	22	18	180	—	5	1,7
41MPT	Cossor	4	1	250	12	1,5	100	—	—	4,8
42MPT	Cossor	4	2	200	34	3	200	—	—	8,5
42SPT	Cossor	4	2	250	27	15	250	—	—	11
202VP	Cossor	20	0,2	250	4,3	1,5	100	—	—	2,2
ACS2Pen	Mazda	4	1	250	4,5	4,5	120	—	1,5	1,7 <sup>1)</sup>
AC/SP1	Mazda	4	1	200	4,9	3	200	0 <sup>1)</sup>	4,1	2,65
AC/VP1	Mazda	4	0,65	250	7,4	2,8 <sup>1)</sup>	200	—	1,85	2
				250	8,8	4 <sup>1)</sup>	250	—	2,2	2
AL60	Mullard	4	2,1	250	72	7	250	—	8	8,5
DC2SG	Mazda	20	0,1	200	10,5	1,6	100	—	—	2,4
DC2SGVM	Mazda	20	0,1	200	8,1	4	100	—	—	1,6
HP415	Tungstam	4	1	250	8	2	100	—	5	2,7
HP4101C	Tungstam	4	1	250	3,5	20	100	—	—	3,5
HP4106C	Tungstam	4	1	200	5	—	100	—	—	3,5
MP/Pen	Cossor	4	1	200	5	1,5	100	—	1,3	2,8
MS/Pen	Cossor	4	1	200	5	1,5	100	—	1,3	2,8
MVS/Pen	Cossor	4	1	200	4,3	1,5	100	—	1,3	2,2
SG2220	Mazda	22	0,2	250	4,9	3	200	0 <sup>1)</sup>	4,1	2,65
				250	2,9	2,85	200	4,3	6,2	1,45
SP1320	Mazda	13	0,3	250	—	—	100	—	—	3,5
T564	Dario	4	1,2	200	4,5	1,5	100	—	2	—
TE464	Dario	4	1,1	200	3	—	100	—	1,5	2,5
TE474	Dario	4	1,1	200	4,5	1,5 <sup>1)</sup>	100	—	2	2
VMP4	Osram	4	1	250	3	2	100	—	1	3,5
VMP4G	Osram	4	1	250	8	2	100	—	5	2,7
VP2B	Tungstam	2	0,05	135	1	0,5	135	—	0,3	—
VP4A	Mullard	4	1,2	200	4,25	2	100	—	1,8	2,5
VP4C	Tungstam	4	0,6	250	11	—	250	—	4	2
VP13	Hivac	13	0,2	200	6,3	1,5	100	—	2	3
VP1320	Mazda	13	0,2	200	4,5	2 <sup>1)</sup>	100	—	1,4	2,2

$R_i$	$R_a$	$R_k$	$P_0$	$P_v$	$\mu$	$d$	Poznámky	Po- užití	Typ	Patice
k $\Omega$	k $\Omega$	$\Omega$	W	W		%				
12	13	14	15	16	17	18	19	20	21	22
—	—	—	—	—	—	—			4TSP	474
60	8,5	150	—	3,75	600	—		10	7A3	
55	6	—	—	1,4	—	—		10	29W31	
—	—	—	—	—	—	—	Tv	9	41MPT	
—	—	—	—	—	—	—	$U_{a\max}=250$ V	9	42MPT	
—	—	—	—	—	—	—	Tv	29	42SPT	
600	—	1300	—	—	—	—	$S_p$	9	202VP	
1500	—	—	—	—	—	—	ES; $C_{ag}=0,009$ pF; <sup>1)</sup> $S_p$ ; $U_{o\,vh}=3,5$ V		ACS2Pen	
—	—	—	—	—	—	—	<sup>1)</sup> $U_{gp}=-20$ V; $C_{ag}=0,0035$ pF	9	AC/SP1	
1000	—	—	—	—	—	—	<sup>1)</sup> $U_{gp}=-34,5$ V; $S_p$ ; $C_{ag}=0,0025$ pF	9	AC/VP1	
850	—	—	—	—	—	—	<sup>1)</sup> $U_{gp}=-43$ V; $S_p$			
22	3,5	90	—	8	—	10		10	AL60	
—	—	—	—	—	—	—		9	DC2SG	
—	—	—	—	—	—	—		9	DC2SGVM	
1000	—	—	—	—	—	—	$C_{ag}=0,0026$ pF	5	HP415	
2000	—	—	—	—	—	—		9	HP4101C	
1200	—	—	—	—	—	—	$S_p$	9	HP4106C	
800	—	—	—	—	—	—		9	MP/Pen	
800	—	—	—	—	—	—		9	MS/Pen	
600	—	—	—	—	—	—		5	MVS/Pen	
—	—	—	—	—	—	—	<sup>1)</sup> $U_{gp}=-20$ V; $C_{ag}=0,0035$ pF	9	SG2220	
—	—	—	—	—	—	—		9	SP1320	
3200	1000	—	—	—	—	—	$S_p$	9	T564	
2000	—	—	—	—	—	—		9	TE464	
1000	—	—	—	—	—	—	$S_p$ ; <sup>1)</sup> $U_{gp}=-30$ V	9	TE474	
—	—	500	—	—	—	—		9	VMP4	
1000	—	—	—	—	—	—	$S_p$ ; $C_{ag}=0,0026$ pF	9	VMP4G	
—	—	—	—	—	—	—	$S_p$	9	VP2B	
1400	—	—	—	—	3500	—	$C_{ag}=0,006$ pF	9	VP4A	
1000	—	—	—	—	—	—		9	VP4C	
—	—	—	—	—	—	—	$S_p$	9	VP13	
1400	—	—	—	—	3000	—	<sup>1)</sup> $U_{gp}=-22$ V; $S_p$ ; $C_{ag}=0,003$ pF	9	VP1320	



474